

НАШИ НАБЛЮДЕНИЯ

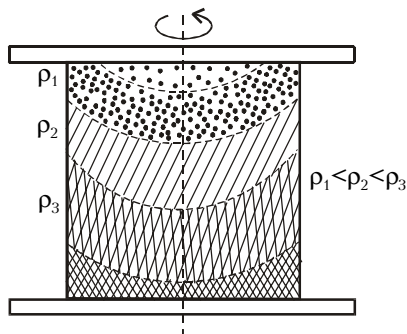


Рис.3. Если жидкость лишена свободной поверхности, ее роль играют условные поверхности, разделяющие слои разной плотности

бодной поверхности жидкости, а границам между слоями разной плотности (рис.3). Возникновение циркуляции легко доказать экспериментально. Потавьте стакан с водой в середину диска проигрывателя, бросьте в воду ложку поваренной соли (для создания градиента плотности) и несколько кристалликов марганцовокислого калия (чтобы проследить за потоками). Теперь плотно закройте стакан сверху, раскрутите и резко остановите — вы увидите меридиональную циркуляцию. Значит, «эффект Эйнштейна» подхватит плотную воду со дна ямы и выбросит ее наверх, к нижней кромке льда.

И вот тут нужно вспомнить самое главное. Зимой температура воды близка к нулю, а вблизи нуля максимальная плотность воды достигается при температуре +4 °С. Именно эта вода будет подниматься со дна ямы наверх и омыwać нижнюю поверхность льда. Вот почему лед над ямой будет таять.

Такое объяснение можно дать загадочным кругам на льду рек, если вспомнить законы физики. Разумеется, в тот памятный вечер в Харькове мне не позволили рассказать все это аудитории — наиболее активные слушатели негодующе зашипели, и я вынужден был сесть на место.

НАМ ПИШУТ

Автомобиль и... кубическое уравнение

В замечательном «Справочнике по физике» — автор А.С.Енохович, издание 2-е, М.: Просвещение, 1990 — на страницах 293 — 294 есть таблица «Технические данные легковых автомобилей». Приведенный здесь фрагмент таблицы наводит на вопрос: как (хотя бы приблизительно) вычислить максимальную скорость v автомобиля массой m с двигателем наибольшей мощности N ? Ведь конструкторы, проектируя машину, наверняка хотят заранее знать ее максимальную скорость.

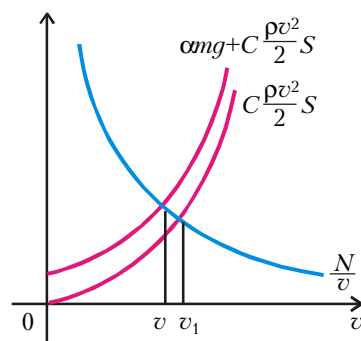
Ясно, что при достижении автомобилем наибольшей скорости его ускорение обращается в ноль и сила тяги двигателя, равная N/v , уравновешивается противоположно направленными ей силами трения качения αmg и сопротивления воздуха $C\rho v^2 S/2$ (совершенно незначительной силой вязкого трения пренебрегаем). Здесь $\alpha = 0,018$ —

коэффициент трения качения для асфальтового шоссе (с.78 вышеупомянутого «Справочника»), C — безразмерный коэффициент, зависящий от обтекаемости автомобиля, S — площадь его лобового сечения, $\rho = 1,29 \text{ кг/м}^3$ — плотность воздуха. К сожалению, в таблицах не удалось найти значения C для автомобиля, к тому же у разных машин разная обтекаемость, поэтому мы посчитали разумным взять среднее арифметическое коэффициентов для диска (1,10) и тела обтекаемой формы (0,05). Тогда $C/2 = 0,2875$. Было бы странно при столь простом усреднении сохранять после запятой более одной цифры, поэтому будем считать $C/2 = 0,3$.

Итак, имеем уравнение

$$\frac{N}{v} = \alpha mg + C \frac{\rho v^2}{2} S,$$

которое после избавления от знаменателя станет кубическим. На рисунке дано его графическое решение, однако уравнение несложно решить и ана-



литически. Легко видеть, что второе слагаемое в правой части нашего уравнения в 5 — 6 раз больше первого. Значит, пренебрегая величиной αmg , в первом приближении получаем несколько завышенный результат:

$$v_1 = \sqrt[3]{\frac{10N}{3\rho S}}.$$

Для ЗИЛа, например, $v_1 = 57,5 \text{ м/с} = 207 \text{ км/ч}$, при этом левая и правая части уравнения равны, соответственно, 4024 Н и 4628 Н. А при скорости $v = 54,5 \text{ м/с} = 196 \text{ км/ч}$ имеет место приближенное с точностью до 1% равенство: 4253 Н \approx 4206 Н. Это очень хорошее совпадение, учитывая характер расчета. Результаты аналогичных вычислений для двух других типов автомобилей таковы:

«Волга» — $v_1 = 150 \text{ км/ч}$, $v = 143 \text{ км/ч}$;
«Запорожец» — $v_1 = 121 \text{ км/ч}$, $v = 114 \text{ км/ч}$.

Отметим, что к массе автомобиля везде прибавлялась масса шофера, равная 100 кг.

В.Дроздов

Показатели	«Запорожец» (ЗАЗ-968М)	«Волга» (ГАЗ-3102)	ЗИЛ-4104
Максимальная скорость, км/ч	118	152	190
Собственная масса, кг	840	1470	3335
Максимальная мощность двигателя, кВт	30,2	77,2	231,8
Ширина автомобиля, мм	1490	1846	2088
Высота автомобиля, мм	1370	1476	1500